

ISSN 1000-0933

CN 11-2031/Q

生态学报

Acta Ecologica Sinica



第 32 卷 第 22 期 Vol.32 No.22 2012

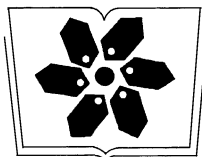
中国生态学学会

中国科学院生态环境研究中心

科学出版社

主办

出版



中国科学院科学出版基金资助出版

生态学报 (SHENTAI XUEBAO)

第 32 卷 第 22 期 2012 年 11 月 (半月刊)

目 次

CO ₂ 浓度和温度升高对噬藻体 PP 增殖的联合作用	牛晓莹, 程凯, 荣茜茜, 等	(6917)
1956—2009 年内蒙古苏尼特左旗荒漠草原的降水格局	陈军, 王玉辉	(6925)
两个污水处理系统的能值与经济综合分析	李敏, 张小洪, 李远伟, 等	(6936)
退化草地阿尔泰针茅种群个体空间格局及关联性	赵成章, 任珩	(6946)
地表覆盖栽培对雷竹林凋落物养分及其化学计量特征的影响	刘亚迪, 范少辉, 蔡春菊, 等	(6955)
福州酸雨区次生林中台湾相思与银合欢叶片的 12 种元素含量	郝兴华, 洪伟, 吴承祯, 等	(6964)
“雨花露”水蜜桃主要害虫与其捕食性天敌的关系	柯磊, 施晓丽, 邹运鼎, 等	(6972)
大兴安岭林区 10 小时时滞可燃物湿度的模拟	胡天宇, 周广胜, 贾丙瑞	(6984)
陕北风沙区不同植被覆盖下的土壤养分特征	李文斌, 李新平	(6991)
南方型杨树人工林土壤呼吸及其组分分析	唐罗忠, 葛晓敏, 吴麟, 等	(7000)
黄河下游土壤水盐对生态输水的响应及其与植被生长的关系	鱼腾飞, 冯起, 刘蔚, 等	(7009)
树木胸径大小对树干液流变化格局的偏度和时滞效应	梅婷婷, 赵平, 倪广艳, 等	(7018)
外来植物紫茎泽兰入侵对土壤理化性质及丛枝菌根真菌(AMF)群落的影响	于文清, 刘万学, 桂富荣, 等	(7027)
基于 Landsat TM 的热带精细地物信息提取的模型与方法——以海南岛为例	王树东, 张立福, 陈小平, 等	(7036)
雪被去除对川西高山冷杉林冬季土壤水解酶活性的影响	杨玉莲, 吴福忠, 杨万勤, 等	(7045)
不同土壤水分处理对水稻光合特性及产量的影响	王唯逍, 刘小军, 田永超, 等	(7053)
木蹄层孔菌不同居群间生长特性、木质素降解酶与 SRAP 标记遗传多样性	曹宇, 徐晔, 王秋玉	(7061)
加拿大一枝黄花入侵对土壤动物群落结构的影响	陈雯, 李涛, 郑荣泉, 等	(7072)
间作对玉米品质、产量及土壤微生物数量和酶活性的影响	张向前, 黄国勤, 卞新民, 等	(7082)
接种 AM 真菌对玉米和油菜种间竞争及土壤无机磷组分的影响	张宇亭, 朱敏, 线岩相洼, 等	(7091)
大亚湾冬季不同粒级浮游生物的氮稳定同位素特征及其与生物量的关系	柯志新, 黄良民, 徐军, 等	(7102)
太湖水华期间有毒和无毒微囊藻种群丰度的动态变化	李大命, 叶琳琳, 于洋, 等	(7109)
锌胁迫对小球藻抗氧化酶和类金属硫蛋白的影响	杨洪, 黄志勇	(7117)
基于国家生态足迹账户计算方法的福建省生态足迹研究	邱寿丰, 朱远	(7124)
能源活动 CO ₂ 排放不同核算方法比较和减排策略选择	杨喜爱, 崔胜辉, 林剑艺, 等	(7135)
基于生境等价分析法的胶州湾围填海造地生态损害评估	李京梅, 刘铁鹰	(7146)
县级生态资产评估——以河北丰宁县为例	王红岩, 高志海, 李增元, 等	(7156)
专论与综述		
丛枝菌根提高宿主植物抗旱性分子机制研究进展	李涛, 杜娟, 郝志鹏, 等	(7169)
城市土壤碳循环与碳固持研究综述	罗上华, 毛齐正, 马克明, 等	(7177)
基于遥感的光合有效辐射吸收比率(FPAR)估算方法综述	董泰锋, 蒙继华, 吴炳方	(7190)
光衰减及其相关环境因子对沉水植物生长影响研究进展	吴明丽, 李叙勇	(7202)
浮游动物化学计量学稳定性特征研究进展	苏强	(7213)
研究简报		
2010 年两个航次獐子岛海域浮游纤毛虫丰度和生物量	于莹, 张武昌, 张光涛, 等	(7220)
基于熵值法的我国野生动物资源可持续发展研究	杨锡涛, 周学红, 张伟	(7230)
残落物添加对农林复合系统土壤有机碳矿化和土壤微生物量的影响	王意锟, 方升佐, 田野, 等	(7239)
人工湿地不同季节与单元之间根际微生物多样性	陈永华, 吴晓英, 张珍妮, 等	(7247)
期刊基本参数: CN 11-2031/Q * 1981 * m * 16 * 338 * zh * P * ¥ 70.00 * 1510 * 36 * 2012-11		



封面图说: 水杉农田防护林中的小麦熟了——水杉曾广泛分布于北半球, 第四纪冰期以后, 水杉属的其他种类全部灭绝, 水杉却在中国川、鄂、湘边境地带得以幸存, 成为旷世奇珍, 野生的水杉是国家一级保护植物。由于水杉耐水, 适应力强, 生长极为迅速, 其树干通直挺拔, 高大秀颀, 树冠呈圆锥形, 姿态优美, 自发现后被人们在中国南方广泛种植, 不仅成为了湖边、道路两旁的绿化观赏植物, 更成为了农田防护林的重要树种。此图中整齐划一的水杉防护林像忠实的哨兵一样, 为苏北农村即将成熟的麦田站岗。

彩图提供: 陈建伟教授 北京林业大学 E-mail: cites.chenjw@163.com

DOI: 10.5846/stxb201110111498

唐罗忠, 葛晓敏, 吴麟, 田野, 魏勇. 南方型杨树人工林土壤呼吸及其组分分析. 生态学报, 2012, 32(22): 7000-7008.

Tang L Z, Ge X M, Wu L, Tian Y, Wei Y. Partitioning of autotrophic and heterotrophic soil respiration in southern type poplar plantations. Acta Ecologica Sinica, 2012, 32(22): 7000-7008.

南方型杨树人工林土壤呼吸及其组分分析

唐罗忠*, 葛晓敏, 吴 麟, 田 野, 魏 勇

(南京林业大学森林资源与环境学院, 南京 210037)

摘要:采用开沟隔离法, 利用 LI-8100 型土壤呼吸测定系统, 对 15 年生的南方型杨树 (*Populus deltoides*) 人工林土壤呼吸进行了研究, 并试图区分根系呼吸和土壤微生物呼吸。结果表明, 开沟隔离处理后的 10 个月内, 由于土壤中被截断根系具有自养呼吸和分解作用, 土壤呼吸中的根系呼吸与微生物呼吸尚难以区分。尽管如此, 研究表明 15 年生杨树人工林的土壤总呼吸通量为 $9.74 \text{ tC} \cdot \text{hm}^{-2} \cdot \text{a}^{-1}$, 其中, 枯枝落叶等土壤表层凋落物分解所释放的碳通量是 $2.63 \text{ tC} \cdot \text{hm}^{-2} \cdot \text{a}^{-1}$, 占总量的 27.0%; 林木根系呼吸与土壤微生物呼吸通量的和为 $7.11 \text{ tC} \cdot \text{hm}^{-2} \cdot \text{a}^{-1}$, 占总量的 73.0%。土壤各组分呼吸速率与 10 cm 深处的土壤温度之间存在着显著的指数函数关系。不同直径的杨树根系被截断后的活力变化有所不同, 根系越粗, 存活时间越长。

关键词:杨树; 人工林; 土壤呼吸; 根系呼吸

Partitioning of autotrophic and heterotrophic soil respiration in southern type poplar plantations

TANG Luozhong*, GE Xiaomin, WU Lin, TIAN Ye, WEI Yong

College of Forest Resources and Environment, Nanjing Forestry University, Nanjing 210037, China

Abstract: Soil respiration in forests is an important part of the carbon cycle in terrestrial ecosystems. It primarily includes respiration occurring in plant roots (autotrophic respiration) and in soil microbes (heterotrophic respiration). The carbon sources for autotrophic and heterotrophic respiration are different, and their contributions to total soil respiration may also be different. Understanding the mechanisms of soil respiration require separating its component. Many studies have focused on developing methods to separate the components of soil respiration, such as the root exclusion method, isotopic method, and *in situ* root techniques although each method has some defects. The trenching method is generally considered effective and can separate root and microbial contributions from total soil respiration in forested ecosystems. Poplar, one of the most important timber species, also provides important ecological services. Currently, China has about seven million hectares of poplar plantations, and it plays an important role in supplying the country's timber demand. However, few published reports can be found related to the characteristics of soil respiration. The contributions of root and microbial respiration to the total soil respiration in poplar plantations remain unclear. In this paper, the components of soil respiration were partitioned in a poplar (*Populus deltoides* Bartr. cv. 'Lux') plantation using the trenching method with a LI-8100 automated CO_2 flux system (LI-COR, Inc., Lincoln, NE, USA). The study was conducted at a 15-year-old poplar plantation located at Siyang Farm, Siyang County, Jiangsu Province, China ($33^{\circ}42'N$, $118^{\circ}09'E$). The trees averaged 30 cm diameter at breast height and 26 m tall.

In early January, 2009, experiments with three treatments and four repetitions were set up in this poplar plantation.

基金项目:国家自然科学基金资助项目(30872013)

收稿日期:2011-10-11; **修订日期:**2012-03-26

* 通讯作者 Corresponding author. E-mail: tangluozhong@yahoo.com.cn

The three treatments were designed as litter removal with trenching (treatment A), litter removal without trenching (treatment B), and a control (treatment C). Based on the trenching method theory, soil microbial respiration equaled soil respiration from treatment A, while root respiration and litter respiration were obtained based on the difference in soil respiration between treatments B and A and between treatments C and B, respectively. Soil respiration field observations were conducted during the middle of January, March, May, June, July, August, September, October, and December, in 2009, using a LI-8100 automated CO₂ flux system. Soil temperature at 10 cm depth was recorded hourly at a site using a thermo recorder (TR-71U, T & D Corporation, Japan). Root activity of four different root diameter classes was also analyzed after cutting by TTC (2, 3, 5-triphenyltetrazolium chloride) reaction.

The results indicated soil respiration seasonally fluctuated, reaching a maximum in summer and a minimum in winter. Treatment C obviously had the highest soil respiration of the three treatments, while treatments A and B were not distinctly different during the first 9 months. Starting in the tenth month, treatment A had obviously lower soil respiration than treatment B. These results show root and microbial respiration are difficult to separate in the first ten months after trenching and the contribution of each could not be evaluated because the truncated roots still respired as they decomposed.

Also, the annual carbon dioxide efflux from the soil was 9.74 tC·hm⁻²·a⁻¹ in the 15-year-old poplar plantation, divided as follows: 27.0% for decomposition of the litter layer (2.63 tC·hm⁻²·a⁻¹) and 73.0% for root-microbial respiration (7.11 tC·hm⁻²·a⁻¹).

Soil respiration of each treatment was exponentially and significantly correlated to soil temperature at 10 cm deep. The correlation coefficients of the regression equation were in the order of treatment A > treatment B > treatment C. The Q_{10} values of each treatment were calculated using the regression equations, and showed a similar order: 2.94, 2.69, and 2.59 for treatments A, B, and C, respectively. The largest Q_{10} value of treatment A revealed microbial respiration might be more sensitive to temperature than root respiration.

The truncated roots had different survival times depending on root diameter. After cutting, the activity of fine roots ($D<2$ mm) diminished to 0 during the first month. Small ($2\text{ mm}\leqslant D<5$ mm), medium-sized ($5\text{ mm}\leqslant D<10$ mm), and coarse roots ($D>10$ mm) showed the highest activity during the 2nd, 3rd, and 4th month after cutting. As the diameter increased, roots obviously survived for longer periods.

Key Words: poplar; plantation; soil respiration; root respiration

森林生态系统在全球碳循环中起着十分重要的作用^[1-5]。近年来,随着气候异常现象的日益增多,森林的碳汇等环境效应越来越受到重视^[6-14]。

土壤是一个巨大的碳库,碳贮量约为1400 Pg^[15],而森林土壤碳贮量约占全球土壤碳库的73%^[16],在全球碳循环中发挥着极其重要的作用^[17]。全球每年通过土壤呼吸向大气释放的碳约为68 Pg,仅次于全球总初级生产力,超过全球陆地生态系统的净初级生产力^[18],是化石燃料燃烧释放的碳量的十多倍^[19]。所以,土壤呼吸即使发生微小的变化,对全球碳循环,特别是对大气CO₂浓度的变化将产生重大影响。土壤呼吸是指未扰动的土壤中产生CO₂的所有代谢过程^[20],包括3个生物学过程(植物根系呼吸、土壤微生物呼吸、土壤动物呼吸)和一个化学氧化过程^[21]。土壤动物呼吸和化学氧化过程所释放的CO₂往往较少,在实际测定中常常被忽略。所以,土壤呼吸可简单地划分为根系呼吸和土壤微生物呼吸,各呼吸所利用的碳源不同,对土壤呼吸的贡献也有差异,对全球变化的作用和响应也不同。区分土壤各组分呼吸并深入研究各组分呼吸的机理,已经在世界范围内形成热点。

土壤呼吸组分的分离测定一直是个难点,国内外对此作了许多研究和总结^[22-27]。不同的方法具有各自的优缺点。国外开展相关研究比较早^[28-36],近年来,我国研究者也陆续对森林以及草地生态系统进行了相关研究,取得了一定成果^[37-43]。由于研究方法和研究对象不同,各研究结果不尽相同。Hanson等^[22]对世界上

相关的研究结果进行了总结,认为根系呼吸占土壤总呼吸的 10%—90%,平均而言,森林植物的根系呼吸占土壤总呼吸的 45.8%,非森林植物为 60.4%。Rochette 等^[44]认为根排除法是区分土壤各组分呼吸的有效方法,对于森林土壤系统尤为适宜。Kuzyakov^[23]从实用性和对土壤系统的扰动性两个方面对现有的方法进行了综合评价认为,同位素标记法虽然对系统的扰动比较小,但是其实用性并不是最好的,相反,根排除法虽然扰动大,实用性却很强。根排除法中的开沟隔离法被认为是研究森林生态系统土壤呼吸组分的有效方法,在实际研究中得到了广泛应用。

杨树是世界上重要的用材林树种和生态防护林树种,我国的杨树林面积达到了 700 万 hm²,为解决我国的木材供需矛盾起到了巨大的作用,同时也为提高我国森林碳汇能力起到了积极的作用,但是有关杨树人工林的土壤呼吸研究还十分匮乏,尚不能全面和深入地了解杨树人工林的碳循环特征。本文采用开沟隔离法对我国南方地区杨树人工林土壤呼吸进行了研究,旨在掌握土壤呼吸通量及其组成比例,为进一步研究杨树人工林的碳循环规律及其对环境的响应提供依据。

1 研究地概况和研究方法

1.1 研究地概况

研究地设在江苏省中北部黄淮海平原区的宿迁市泗阳农场(东经 118°09',北纬 33°42'),属于季风半湿润气候。年均气温 14.9 ℃,极端高温 40.3 ℃,极端低温 -22.19 ℃;年均降水量 932.4 mm,年均蒸发量 1490.3 mm,无霜期 221.3 d,年均日照时数 2390.3 h,有效积温 4569.6 ℃。土壤为黄河故道冲积沙壤土。该地区为南方型杨树的适宜分布区,也是我国南方型杨树最早的引种试验区和栽培示范区。

试验林选择 15 年生的南方型杨树 I-69 杨(*Populus deltoides* Bartr. cv. 'Lux')人工林,林木株行距为 5 m×7 m,造林成活率和保存率均在 95% 以上,平均胸径和平均树高分别为 30 cm 和 26 m,郁闭度达 0.9 以上。

1.2 研究方法

2009 年 1 月初,在杨树试验林中设定 A、B、C 3 种处理区。A 区:开沟切根且去除凋落物处理区,选择 4 块面积各为 1.5 m×1.5 m 的正方形样方,在样方四周小心挖沟,沟宽 20 cm,深 80 cm,四周设置塑料板,以阻止外部根系的侵入,回填土壤,小心除去样方内的地表凋落物,并罩上直径约 1 m、高度约 30 cm 的尼龙网罩,以防止凋落物掉入;B 区:去凋落物处理区,面积为 1.5 m×1.5 m,重复 4 次,不作开沟切根处理,去除地表凋落物后罩上尼龙网罩;C 区:对照处理区,保持原样,不作开沟切根处理,保留地表凋落物层,面积 1.5 m×1.5 m,重复 4 次。

设置土壤温度自动记录仪(Thermo Recorder TR-71U, T & D Corporation, Japan),每隔 1 h 自动记录 1 次 10 cm 深处的土壤温度。在每个处理区地表各设置 1 个土壤圈,分别于当年的 1、3、5、6、7、8、9、10、12 月中旬的某 1 天,采用 LI-8100 开路式土壤碳通量测量系统(LI-COR Inc., Lincoln, NE, USA)对不同处理下的土壤呼吸速率进行测定。分析土壤呼吸速率与土壤温度的关系,通过土壤呼吸速率与土壤温度的指数回归方程计算各处理区的土壤年呼吸通量。

为了明确杨树根系被切断后的生理活性,4 月中旬挖掘试验林中的杨树根系,采用氯化三苯基四氮唑(TTC)法分别测定根径为 0—2 mm 的细根、2—5 mm 的小根、5—10 mm 的中根和 10 mm 以上的粗根的活力,其中细根活力包含木质部,其他根径的根系活力不包含木质部(即测定根皮和韧皮部的活力);同时采用网袋法(孔径为 0.1 mm 左右的尼龙网)将已知重量、不同直径的新鲜根系分别与 50 倍于鲜根重量的土壤混合后分别埋在重新设置的开沟断根样方 10 cm 深的土壤中,每隔 1 个月每种根径样品各收取 3 份,拣出根系后洗净,称重并测定其活力。

1.3 数据处理方法

应用 Microsoft Excel 2003 和 SPSS 13.0 软件对数据进行处理,采用单因素方差分析法检验不同处理之间数据的差异性。

2 结果与分析

2.1 不同处理条件下杨树人工林土壤呼吸速率的动态变化

由图1可以看出,A处理(开沟断根且去凋落物)、B处理(去凋落物)和C处理(对照)3种处理的土壤 CO_2 释放速率具有明显的季节变化规律,其中,夏季最高,春季和秋季次之,冬季最低。C处理的土壤 CO_2 释放速率明显高于A处理和B处理,而A处理和B处理之间在试验开始后的1—9月份没有明显差异,10月之后,A处理的土壤 CO_2 释放速率明显小于B处理。表明A处理根系在试验早期可能处于存活状态,仍然进行自养呼吸,这与南方型杨树I-69杨具有明显的无性繁殖特性有关。一定时期后,A处理的根系虽然死亡,但是死根作为土壤有机物被微生物分解,土壤的异养呼吸增强,因而在12个月的试验中,A、B两种处理的土壤 CO_2 释放速率的差异总体上不显著。所以,采用开沟隔离法分别测定南方型杨树人工林土壤呼吸中的根系呼吸和土壤微生物呼吸时,应该在断根处理之后经过较长时间的分解平衡才可能减少断根的影响。

2.2 地温动态变化

由图2可知,虽然有一定的波动性,但是10 cm深处的土壤温度具有明显的季节变化规律,6—9月的地温主要在20—30℃之间,4、5月和10月的地温主要在10—20℃之间,11—2月的地温基本上在10℃以下。地温的年变化规律与图1的各处理土壤 CO_2 释放速率的年变化规律相似,表明土壤呼吸速率受温度的影响。

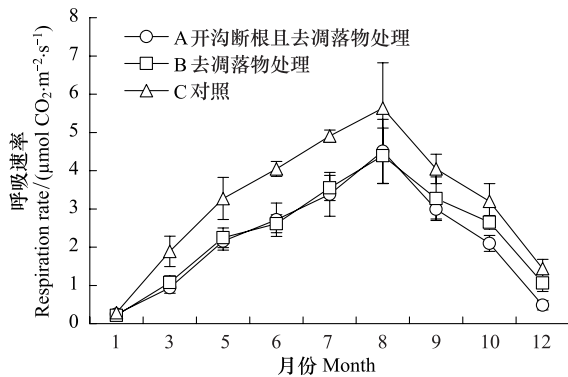


图1 不同处理下的土壤呼吸速率

Fig. 1 Rates of soil respirations in different treatments

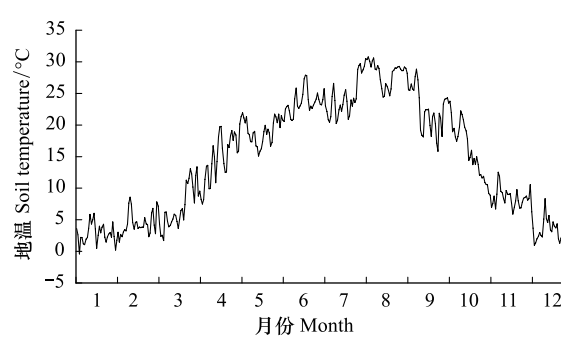


图2 10 cm 深处的土壤温度动态变化

Fig. 2 Dynamics of soil temperature at 10 cm depth

2.3 不同处理区土壤呼吸速率与地温的关系

结果表明(图3),A(开沟断根且去凋落物处理)、B(去凋落物处理)和C(对照处理)3种处理的土壤呼吸速率与10 cm深处的土壤温度之间存在着极显著($P<0.01$)的指数函数关系,其中,A处理的土壤呼吸速率与土壤温度之间的指数函数方程拟合效果最佳($P<0.001$),其次为B处理($P<0.01$),C处理的拟合效果虽然较差,但也达到了极显著水平($P<0.01$)。凋落物层的呼吸速率(C处理与B处理的土壤呼吸之差)与土壤温度的相关关系比较弱($P<0.05$)。其原因主要是:A处理的土壤呼吸主要来源于矿质土壤中的微生物呼吸,其呼吸强度与土温关系密切;B处理的土壤呼吸一方面来自于矿质土壤中的微生物呼吸,另一方面来源于活的树根呼吸,树根呼吸强度不仅与土温有关,它也受控于树体地上部分的生理活性,因而影响因素较多;C处理区由于地表存在大量的凋落物,凋落物分解时释放 CO_2 的速度虽然受到土壤温度的影响,但是与气温的变动也有密切关系,同时,凋落物的含水量变化比较剧烈,所以,采用10 cm深处的土壤温度拟合对照区土壤呼吸速率和凋落物呼吸速率,其效果相对较差。

2.4 不同处理条件下土壤的年呼吸通量

根据拟合方程(图3)以及地温的年变化数据(图2)可以计算不同组分的土壤年呼吸通量,结果(表1)表明,A处理的土壤年呼吸通量为 $6.83 \text{ tC} \cdot \text{hm}^{-2} \cdot \text{a}^{-1}$,B处理的土壤年呼吸通量为 $7.11 \text{ tC} \cdot \text{hm}^{-2} \cdot \text{a}^{-1}$,两者相差无几。正如前文所述,这是由于开沟断根处理后所经历的时间较短,被截断的根系存在自养呼吸和异养呼吸

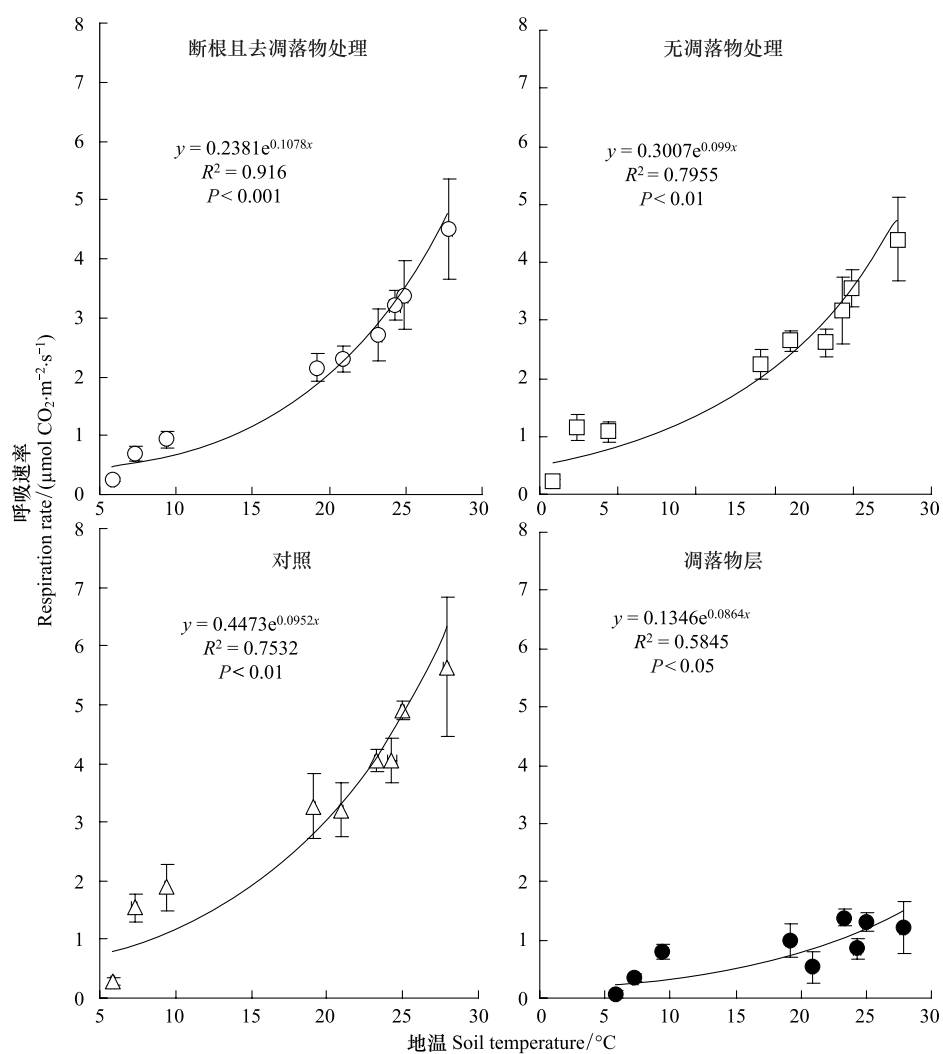


图3 不同处理下的土壤呼吸速率与土壤温度的相关关系

Fig. 3 Relationships between soil respiration rates and soil temperature in different treatments

(分解),导致A处理土壤呼吸通量与B处理之间没有明显差异(表1)。C处理的土壤年呼吸通量为 $9.74 \text{ tC} \cdot \text{hm}^{-2} \cdot \text{a}^{-1}$,将C处理与B处理相减即可得到凋落物层的呼吸通量为 $2.63 \text{ tC} \cdot \text{hm}^{-2} \cdot \text{a}^{-1}$ 。

根据图3中的拟合方程也可以计算不同处理区土壤呼吸速率的 Q_{10} 值(温度提高 10°C 后土壤 CO_2 释放速率与温度未提高时的土壤 CO_2 释放速率的比值,见表1),其中,A处理为2.94,B处理为2.69,C处理为2.59,凋落物层为2.37。

表1 不同处理下的土壤年呼吸通量(平均值±标准差)及其组成比例和 Q_{10} 值Table 1 Annual flux of soil respiration (mean±SD), percent of components and its Q_{10} values

	A 处理 A treatment	B 处理 B treatment	凋落物层 Litter floor	C 处理 C treatment
年呼吸通量 Annual flux/(tC·hm⁻²·a⁻¹)	$6.83 \pm 0.99 \text{ b}$	$7.11 \pm 0.92 \text{ b}$	$2.63 \pm 0.42 \text{ c}$	$9.74 \pm 1.26 \text{ a}$
比例 Percent/%	70.1	73.0	27.0	100.0
Q_{10}	2.94	2.69	2.37	2.59

A处理:开沟断根且去凋落物;B处理:去凋落物;C处理:对照;同一行数据后不同字母表示差异达到0.05显著水平

2.5 杨树根系活力的动态变化

为了明确杨树根系被切断后的生理活性及其对土壤呼吸的影响,从4月份开始对杨树不同径阶根系进行

了6个月的活力动态测定试验,结果(图4)表明,细根(根径<2 mm)的活力呈下降趋势,埋入土壤2个月后,其活力近似于0;其他径阶的根系活力均有上升阶段,其中,小根(根径2—5 mm)被埋入土壤2个月时的活力最高,之后迅速下降;中根(根径5—10 mm)被埋入土壤3个月时的活力最高;粗根(根径>10 mm)活力在4个月时最高。由此可见,土壤中的杨树根系被切断之后,能够存活一段时间,尤其是直径较粗的根系能够维持较长时间的活力;较粗的根系被切断之后,其活力有一个上升的过程,这可能与其在死亡之前,新陈代谢加剧,呼吸作用增强有关。

研究结果还表明,经过6个月的埋根处理,直径小于2 mm的杨树细根重量减少了30%左右;直径在2—5 mm的根系重量减少了20%左右;直径大于5 mm的根系重量减少了5%以下。

3 结论与讨论

15年生的南方型杨树人工林(I-69杨)土壤的CO₂释放通量为9.74 tC·hm⁻²·a⁻¹,这一结果高于相似纬度的其他森林的平均值^[2,45],也高于低湿地条件下的10年生相同树种I-69杨人工林^[46],但是与江苏沿海地区20年生的毛白杨(*Populus tomentosa*)成熟林相当^[47]。所以,不同树种、不同立地、不同年龄阶段的人工林土壤呼吸通量存在一定差异。南方型杨树属于速生丰产性树种,林木生长快,根系发达,凋落物多,这些因子都有利于土壤呼吸速率的增加和呼吸通量的增大。当然,在特殊的立地条件下^[46],如地下水位偏高、土壤粘重而板结等,易导致林木生长减缓,且不利于土壤呼吸。

开沟隔离法是通过挖壕沟并用隔离板阻止样地外部根系侵入,将对照区与处理区的土壤呼吸之差作为根系呼吸^[24-25,27]。这一方法可以应用在不同的生态系统中。河原辉彦^[28]利用该法测得15年生的日本赤松(*Pinus densiflora*)和5年生的日本柳杉(*Cryptomeria japonica*)的根系呼吸分别占土壤总呼吸的20%和40%;Bowden等人^[32]利用该法对温带阔叶混交林进行测定知,根系呼吸占土壤总呼吸的33%—49%。Lavigne等人^[48]通过此法研究胶冷杉(*Abies balsamea*)林时发现土壤呼吸对温度的依赖性主要受根呼吸的影响,这与Boone等人^[49]通过相同方法对根系呼吸的研究结果相似。近年来,国内也有一些学者采用开沟隔离法对我国东北和南方地区的林木根系呼吸进行了研究^[38-40,42-43,50],其结果存在一定的差别。

开沟隔离法与根移出法相比,对土壤的扰动较小,但残留在样地中的根系会死亡分解,从而使根呼吸的估计值偏低^[24]。再则,与根系移出法一样,开沟隔离法也容易导致土壤湿度上升而使结果的准确性降低,因为切根以后,根系与地上部分隔断,土壤水分不能被树木吸收和蒸腾^[23]。Ewel等人^[51]认为,根切断几个月后再测CO₂释放量,并定期检查样方中的根生物量可以减少因根系分解产生的误差,并得到湿地松(*Pinus elliottii*)根呼吸占土壤总呼吸的比例是:9年生为51%,29年生为62%。Lee等^[36]采用此法,并根据根系的分解速率修正处理区土壤呼吸,从而估计出日本中部山区栎树林根系呼吸占土壤总呼吸的27%—71%。

本研究结果表明,南方型杨树(I-69杨)人工林断根处理后10个月,其土壤呼吸速率与未断根处理区的土壤呼吸速率相比没有明显差异,其原因可以被认为是,开沟断根处理区根系在断根处理早期处于存活状态(由图4可以表明),能进行自养呼吸,因为I-69杨具有明显的无性繁殖特性,被截断的根能在较长时间内保持存活状态;之后,开沟断根处理区的根系虽然死亡,但是死根作为土壤有机物被微生物分解,土壤的异养呼吸增强,因而导致断根处理与未断根处理之间在近1年内,土壤呼吸通量差异并不显著。所以,采用开沟隔离法测定南方型杨树人工林土壤呼吸中的根系呼吸和土壤微生物呼吸时,建议在开沟断根处理后需要经过较长时间(近1年)的分解和平衡,这样才能减少断根的自养呼吸和异养呼吸所造成的影响。所以就本研究而言,

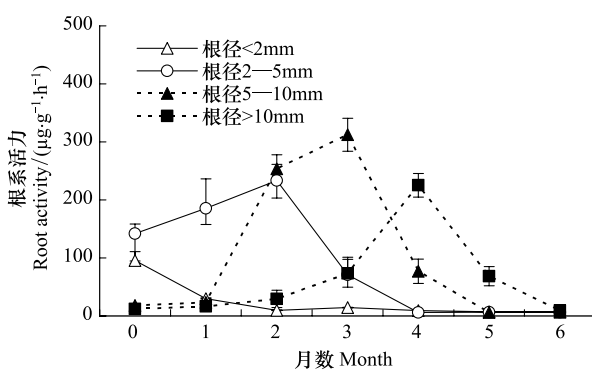


图4 不同直径的杨树根系活力动态变化

Fig. 4 Dynamics of poplar roots activities in different diameter

要精确区分林木根系呼吸和土壤微生物呼吸,还需要更长时间的试验观测。

土壤呼吸速率(CO_2 释放速度)的大小受多种因素的影响,其中土壤温度被认为是重要的影响因素^[6,8,18,49,52-53]。正如图3所示, CO_2 释放速率与土壤温度之间呈明显的指数函数关系。本研究地土壤呼吸速率的 Q_{10} 值在2.5至3.0之间,这一结果处于其他研究($Q_{10}=2-4$)^[18,49,52]的中间值状态。当然,在本研究中,不同处理之间的 Q_{10} 值存在一定差异,其中A处理(开沟断根且去凋落物处理)的 Q_{10} 值最大,表明其呼吸速率受温度的影响较大,所以,与杨树根系呼吸相比,土壤微生物呼吸对温度的敏感性可能更强。当然,关于根系的自养呼吸和土壤微生物的异养呼吸的温度敏感性问题十分复杂,至今尚没有定论^[54]。由于土壤呼吸速率与温度之间存在指数相关关系,因此不难想象,当地球温暖化时期真正到来的时候,土壤中的有机物可能会被加速分解,从而进一步提高大气 CO_2 浓度,加剧地球温暖化^[53]。

References:

- [1] Dixon R K, Solomon A M, Brown S, Houghton R A, Trexler M C, Wisniewski J. Carbon pools and flux of global forest ecosystems. *Science*, 1994, 263(5144): 185-190.
- [2] Kelly J M, McFee W W. *Carbon Forms and Functions in Forest Soils*. Madison, Wisconsin USA: Soil Science Society of America, 1995.
- [3] Nabuurs G J, Päivinen R, Sikkema R, Mohren G M J. The role of European forests in the global carbon cycle-a review. *Biomass and Bioenergy*, 1997, 13(6): 345-358.
- [4] Houghton R A, Hackler J L, Lawrence K T. The U. S. carbon budget: contributions from land-use change. *Science*, 1999, 285 (5427): 574-578.
- [5] Lal R, Kimble J M, Eswaran H, Stewart B A. *Global Climate Change and Pedogenic Carbonates*. Boca Raton: Lewis Publishers, 2000.
- [6] Edwards N T, Harris W F. Carbon cycling in a mixed deciduous forest floor. *Ecology*, 1977, 58(2): 431-437.
- [7] Alban D H, Perala D A. Carbon storage in Lake States aspen ecosystems. *Canadian Journal of Forest Research*, 1992, 22(8): 1107-1110.
- [8] Pulliam W M. Carbon dioxide and methane exports from a southeastern floodplain swamp. *Ecological Monographs*, 1993, 63(1): 29-53.
- [9] Wofsy S C, Goulden M L, Munger J W, Fan S M, Bakwin P S, Daube B C, Bassow S L, Bazzaz F A. Net exchange of CO_2 in a mid-latitude forest. *Science*, 1993, 260(5112): 1314-1317.
- [10] Singh B, Behl H M. Energy flow, carbon and nitrogen cycling in *Populus deltoides* clones in north India. *Biomass and Bioenergy*, 1999, 17(4): 345-356.
- [11] Patenaude G L, Briggs B D J, Milne R, Rowland C S, Dawson T P, Pryor S N. The carbon pool in a British semi-natural woodland. *Forestry*, 2003, 76(1): 109-119.
- [12] Ritson P, Sochacki S. Measurement and prediction of biomass and carbon content of *Pinus pinaster* trees in farm forestry plantations, south-western Australia. *Forest Ecology and Management*, 2003, 175(1/3): 103-117.
- [13] Fang J Y, Chen A P, Peng C H, Zhao S Q, Ci L J. Changes in forest biomass carbon storage in China between 1949 and 1998. *Science*, 2001, 292(5525): 2320-2322.
- [14] Ni J. Net primary productivity in forests of China: scaling-up of national inventory data and comparison with model predictions. *Forest Ecology and Management*, 2003, 176(1/3): 485-495.
- [15] Jenkinson D S, Adams D E, Wild A. Model estimates of CO_2 emissions from soil in response to global warming. *Nature*, 1991, 351 (6324): 304-306.
- [16] Post W M, Emanuel W R, Zinke P J, Stangenberger A G. Soil carbon pools and world life zones. *Nature*, 1982, 298(5870): 156-159.
- [17] Kimura M, Hatano N. *Pedosphere and Global Warming*. Nagoya: Nagoya University Publisher, 2005.
- [18] Raich J W, Schlesigner W H. The global carbon dioxide flux in soil respiration and relation to vegetation and climate. *Tellus B*, 1992, 44(2): 81-99.
- [19] Marland G, Rotty R M. Carbon dioxide emissions from fossil fuels: a procedure for estimation and results for 1950-1982. *Tellus B*, 1984, 36: 232-261.
- [20] Lundegårdh H. Carbon dioxide evolution of soil and crop growth. *Soil Science*, 1927, 23(1927): 417-453.
- [21] Singh J S, Gupta S R. Plant decomposition and soil respiration in terrestrial ecosystems. *The Botanical Review*, 1977, 43(4): 449-528.
- [22] Hanson P J, Edwards N T, Garten C T, Andrews J A. Separating root and soil microbial contributions to soil respiration: a review of methods and observations. *Biogeochemistry*, 2000, 48(1): 115-146.

- [23] Kuzyakov Y. Sources of CO₂ efflux from soil and review of partitioning methods. *Soil Biology and Biochemistry*, 2006, 38(3) : 425-448.
- [24] Yi Z G, Yi W M, Zhou L X. Advances in the research on the methods for separating the components of soil respiration. *Chinese Journal of Ecology*, 2003, 22(2) : 65-69.
- [25] Cheng S Y, Zhang X Z. A review on differential methods for root and soil microbial contributions to total soil respiration. *Advance in Earth Sciences*, 2003, 18(4) : 597-602.
- [26] Yang Y S, Dong B, Xie J S, Chen G S, Li L, Liu D X, Li Z. A review of tree root respiration; significance and methodologies. *Acta Phytocologica Sinica*, 2004, 28(3) : 426-434.
- [27] Wang W J. Methods for the determination of CO₂ flux from non-photosynthetic organs of trees and their influences on the results. *Acta Ecologica Sinica*, 2004, 24(9) : 2056-2067.
- [28] Kawahara H. Study on the litter degradation (IV) Estimation of root respiration contributions to soil respiration. *Journal of the Japanese Forestry Society*, 1976, 58(10) : 353-359.
- [29] Glosar J, Tesarova M. Litter, soil, and root respiration measurement; an improved compartmental analysis method. *Pedobiologia*, 1978, 18(1) : 76-81.
- [30] Katagiri S. Estimation of proportion of root respiration in total soil respiration in deciduous broadleaved stands. *Journal of the Japanese Forestry Society*, 1988, 70(4) : 151-158.
- [31] Behera N, Joshi S K, Pati D P. Root contribution to total soil metabolism in a tropical forest soil from Orissa, Indian. *Forest Ecology Management*, 1990, 36(2/4) : 125-134.
- [32] Bowden R D, Nadelhoffer K J, Boone R D, Melillo J M, Garrison J B. Contributions of aboveground litter, belowground litter, and root respiration to total soil respiration in a temperate mixed hardwood forest. *Canadian Journal of Forest Research*, 1993, 23(7) : 1402-1407.
- [33] Thierron V, Laodelout H. Contribution of root respiration to total CO₂ efflux from the soil of a deciduous forest. *Canadian Journal of Forest Research*, 1996, 26(7) : 1142-1148.
- [34] Kelting D L, Burger J A, Edwards G S. Estimating root respiration, microbial respiration in the rhizosphere, and root-free soil respiration in forest soils. *Soil Biology and Biochemistry*, 1998, 30(7) : 961-968.
- [35] Ohashi M, Gyokusen K, Saito A. Contribution of root respiration to total soil respiration in a Japanese cedar (*Cryptomeria japonica* D. Don) artificial forest. *Ecological Research*, 2000, 15(3) : 323-333.
- [36] Lee M S, Nakane K, Nakatsubo T, Koizumi H. Seasonal changes in the contribution of root respiration to total soil respiration in a cool-temperate deciduous forest. *Plant and Soil*, 2003, 255(1) : 311-318.
- [37] Li L H, Han X G, Wang Q B, Chen Q S, Zhang Y, Yang J, Bai W M, Song S H, Xing X R, Zhang S M. Separating root and soil microbial contributions to total soil respiration in a grazed grassland in the Xilin river basin. *Acta Phytocologica Sinica*, 2002, 26(1) : 29-32.
- [38] Jiang L F, Shi F C, Wang H T, Zu Y G, Koike T. Root respiration in *Larix gmelini* plantations in Northeast China. *Plant Physiology Communications*, 2004, 40(1) : 27-30.
- [39] Zhang X Q, Wang W J, Zu Y G, Zhang W L. The difference between different components of soil respiration in several types of forests in Northeastern China. *Journal of Northeast Forestry University*, 2005, 33(2) : 46-47.
- [40] Chen G S, Yang Y S, Wang X G, Xie J S, Gao R, Li Z. Root respiration in a natural forest and two plantations in subtropical China; seasonal dynamics and controlling factors. *Acta Ecologica Sinica*, 2005, 25(8) : 1941-1947.
- [41] Wang W, Guo J X. The contribution of root respiration to soil CO₂ efflux in *Puccinellia tenuiflora* dominated community in a semi-arid meadow steppe. *Chinese Science Bulletin*, 2006, 51(5) : 559-564.
- [42] Chu J X, Zhang X Q. Dynamic and fractionalization of soil respiration under three different land use/covers in the subalpine region of western Sichuan Province, China. *Acta Ecologica Sinica*, 2006, 26(6) : 1693-1700.
- [43] Yang J Y, Wang C K. Partitioning soil respiration of temperate forest ecosystems in Northeastern China. *Acta Ecologica Sinica*, 2006, 26(6) : 1640-1647.
- [44] Rochette P, Flanagan L B. Quantifying rhizosphere respiration in a corn crop under field conditions. *Soil Science Society of American Journal*, 1997, 61(2) : 466-474.
- [45] Schlesinger W H. Carbon balance in terrestrial detritus. *Annual Review of Ecology Systematics*, 1977, 8 : 51-81.
- [46] Tang L Z, Haibara K, Huang B L, Toda H, Yang W Z, Arai T. Storage and dynamics of carbon in a poplar plantation in Lixiahe region, Jiangsu Province. *Journal of Nanjing Forestry University: Natural Sciences Edition*, 2004, 28(2) : 1-6.
- [47] Zhang J C, Kong Y G, Wang Y H, Yang C Q, Hu D M. Components separation of soil respiration in two typical shelter forestlands in silting coastal area, Northern Jiangsu Province. *Acta Ecologica Sinica*, 2010, 30(12) : 3144-3154.
- [48] Lavigne M B, Boutin R, Foster R J, Goodine G, Bernier P Y, Robitaille G. Soil respiration responses to temperature are controlled more by roots

- than by decomposition in balsam fir ecosystems. Canadian Journal of Forest Research, 2003, 33(9) : 1744-1753.
- [49] Boone R D, Nadelhoffer K J, Canary J D, Kaye J P. Roots exert a strong influence on the temperature sensitivity of soil respiration. Nature, 1998, 396(6711) : 570-572.
- [50] Liu Y, Han S J, Li X F, Zhou Y M, Zhang J H, Jia X. The contribution of root respiration of *Pinus koraiensis* seedlings to total soil respiration under elevated CO₂ concentrations. Journal of Forestry Research, 2004, 15(3) : 187-191.
- [51] Ewel K C, Cropper W P Jr, Gholz H L. Soil CO₂ evolution in Florida slash pine plantations. II. Importance of root respiration. Canadian Journal of Forest Research, 1987, 17(4) : 330-333.
- [52] Sakai M, Tsutsumi T. Carbon cycles of two different soils in a cool-temperate forest in Japan (2) Seasonal variations of soil respiration rates under the effects of soil environmental factors. Journal of the Japanese Forestry Society, 1987, 69(2) : 41-48.
- [53] Kirschbaum M U F. The temperature dependence of soil organic matter decomposition, and the effect of global warming on soil organic C storage. Soil Biology and Biochemistry, 1995, 27(6) : 753-760.
- [54] Höglberg P. Is tree root respiration more sensitive than heterotrophic respiration to changes in soil temperature? New Phytologist, 2010, 188(1) : 9-10.

参考文献:

- [17] 木村真人, 波多野隆介. 土壤圈と地球温暖化. 日本名古屋: 名古屋大学出版社, 2005.
- [24] 易志刚, 蚁伟民, 周丽霞. 土壤各组分呼吸区分方法研究进展. 生态学杂志, 2003, 22(2) : 65-69.
- [25] 程慎玉, 张宪洲. 土壤呼吸中根系与微生物呼吸的区分方法与应用. 地球科学进展, 2003, 18(4) : 597-602.
- [26] 杨玉盛, 董彬, 谢锦升, 陈光水, 李灵, 刘东霞, 李震. 林木根呼吸及测定方法进展. 植物生态学报, 2004, 28(3) : 426-434.
- [27] 王文杰. 林木非同化器官CO₂通量的测定方法及对结果的影响. 生态学报, 2004, 24(9) : 2056-2067.
- [28] 河原輝彦. リターの分解について(IV): 土壤呼吸量中の根の呼吸量の推定. 日本林学会誌, 1976, 58(10) : 353-359.
- [30] 片桐成夫. 落葉広葉樹林における土壤呼吸に占める根の呼吸量の推定. 日本林学会誌, 1988, 70(4) : 151-158.
- [37] 李凌浩, 韩兴国, 王其兵, 陈全胜, 张焱, 杨晶, 白文明, 宋世环, 邢雪荣, 张淑敏. 锡林河流域一个放牧草原群落中根系呼吸占土壤总呼吸比例的初步估计. 植物生态学报, 2002, 26(1) : 29-32.
- [38] 姜丽芬, 石福臣, 王化田, 祖元刚, 小池孝良. 东北地区落叶松人工林的根系呼吸. 植物生理学通讯, 2004, 40(1) : 27-30.
- [39] 张宪权, 王文杰, 祖元刚, 张万里. 东北地区几种不同林分土壤呼吸组分的差异性. 东北林业大学学报, 2005, 33(2) : 46-47.
- [40] 陈光水, 杨玉盛, 王小国, 谢锦升, 高人, 李震. 格氏栲天然林与人工林根系呼吸季节动态及影响因素. 生态学报, 2005, 25(8) : 1941-1947.
- [41] 王娓, 郭继勋. 松嫩草甸草地碱茅群落根呼吸对土壤呼吸的贡献. 科学通报, 2006, 51(5) : 559-564.
- [42] 褚金翔, 张小全. 川西亚高山林区三种土地利用方式下土壤呼吸动态及组分分区. 生态学报, 2006, 26(6) : 1693-1700.
- [43] 杨金艳, 王传宽. 东北东部森林生态系统土壤呼吸组分的分离量化. 生态学报, 2006, 26(6) : 1640-1647.
- [46] 唐罗忠, 生原喜久雄, 黄宝龙, 户田浩人, 杨文忠, 荒井知朗. 江苏省里下河地区杨树人工林的碳储量及其动态. 南京林业大学学报: 自然科学版, 2004, 28(2) : 1-6.
- [47] 张金池, 孔雨光, 王因花, 杨传强, 胡丁猛. 苏北淤泥质海岸典型防护林地土壤呼吸组分分离. 生态学报, 2010, 30(12) : 3144-3154.
- [52] 酒井正治, 堤利夫. 温带落葉広葉樹林の2タイプの土壤における炭素收支(Ⅱ): 土壤呼吸速度の季節変化とそれに及ぼす土壤環境要因. 日本林学会誌, 1987, 69(2) : 41-48.

CONTENTS

The combined effects of elevated CO ₂ and elevated temperature on proliferation of cyanophage PP	NIU Xiaoying, CHENG Kai, RONG Qianqian, et al (6917)
Precipitation pattern of desert steppe in Inner Mongolia, Sunite Left Banner: 1956—2009	CHEN Jun, WANG Yuhui (6925)
Energy and economic evaluations of two sewage treatment systems	LI Min, ZHANG Xiaohong, LI Yuanwei, et al (6936)
Individual spatial pattern and spatial association of <i>Stipa krylovii</i> population in Alpine Degraded Grassland	ZHAO Chengzhang, REN Heng (6946)
Litter characteristics of nutrient and stoichiometry for <i>Phyllostachys praecox</i> over soil-surface mulching	LIU Yadi, FAN Shaohui, CAI Chunju, et al (6955)
Characteristics of leaf element concentrations of twelve nutrients in <i>Acacia confusa</i> and <i>Leucaena glauca</i> in secondary forests of acid rain region in Fuzhou	HAO Xinghua, HONG Wei, WU Chengzhen, et al (6964)
Relationships between main insect pests and their predatory natural enemies in “Yuhualu” juicy peach orchard	KE Lei, SHI Xiaoli, ZOU Yunding, et al (6972)
Simulating 10-hour time-lag fuel moisture in Daxinganling	HU Tianyu, ZHOU Guangsheng, JIA Bingrui (6984)
Soil nutrient characteristics under different vegetations in the windy and sandy region of northern Shaanxi	LI Wenbin, LI Xinping (6991)
Partitioning of autotrophic and heterotrophic soil respiration in southern type poplar plantations	TANG Luozhong, GE Xiaomin, WU Lin, et al (7000)
Soil water and salinity in response to water deliveries and the relationship with plant growth at the lower reaches of Heihe River, Northwestern China	YU Tengfei, FENG Qi, LIU Wei, et al (7009)
Effect of stem diameter at breast height on skewness of sap flow pattern and time lag	MEI Tingting, ZHAO Ping, NI Guanyan, et al (7018)
Invasion of exotic <i>Ageratina adenophora</i> Sprengel. alters soil physical and chemical characteristics and arbuscular mycorrhizal fungus community	YU Wenqing, LIU Wanxue, GUI Furong, et al (7027)
Models and methods for information extraction of complex ground objects based on LandSat TM images of Hainan Island, China	WANG Shudong, ZHANG Lifu, CHEN Xiaoping, et al (7036)
Effects of snow pack removal on soil hydrolase enzyme activities in an alpine <i>Abies faxoniana</i> forest of western Sichuan	YANG Yulian, WU Fuzhong, YANG Wanqin, et al (7045)
Effects of different soil water treatments on photosynthetic characteristics and grain yield in rice	WANG Weixiao, LIU Xiaojun, TIAN Yongchao, et al (7053)
Growth characteristics, lignin degradation enzyme and genetic diversity of <i>Fomes fomentarius</i> by SRAP marker among populations	CAO Yu, XU Ye, WANG Qiuyu (7061)
Effects of the invasion by <i>Solidago canadensis</i> L. on the community structure of soil animals	CHEN Wen, LI Tao, ZHENG Rongquan, et al (7072)
Effects of intercropping on quality and yield of maize grain, microorganism quantity, and enzyme activities in soils	ZHANG Xiangqian, HUANG Guoqin, BIAN Xinmin, et al (7082)
Influence of mycorrhizal inoculation on competition between plant species and inorganic phosphate forms	ZHANG Yuting, ZHU Min, XIAN Yanxiangwa, et al (7091)
The stable nitrogen isotope of size-fractionated plankton and its relationship with biomass during winter in Daya Bay	KE Zhixin, HUNG Liangmin, XU Jun, et al (7102)
Dynamics of toxic and non-toxic <i>Microcystis</i> spp. during bloom in the large shallow hyper-eutrophic Lake Taihu	LI Daming, YE Linlin, YU Yang, et al (7109)
Activities of antioxidant enzymes and Zn-MT-like proteins induced in <i>Chlorella vulgaris</i> exposed to Zn ²⁺	YANG Hong, HUANG Zhiyong (7117)
Ecological footprint in fujian based on calculation methodology for the national footprint accounts	QIU Shoufeng, ZHU Yuan (7124)
The comparison of CO ₂ emission accounting methods for energy use and mitigation strategy: a case study of China	YANG Xiai, CUI Shenghui, LIN Jianyi, et al (7135)
Ecological damage assessment of jiaozhou bay reclamation based on habitat equivalency analysis	LI Jingmei, LIU Tieying (7146)
The value assessment of county-level ecological assets: a case in Fengning County, Hebei Province	WANG Hongyan, GAO Zhihai, LI Zengyuan, et al (7156)
Review and Monograph	
Molecular basis for enhancement of plant drought tolerance by arbuscular mycorrhizal symbiosis: a mini-review	LI Tao, DU Juan, HAO Zhipeng, et al (7169)
A review of carbon cycling and sequestration in urban soils	LUO Shanghai, MAO Qizheng, MA Keming, et al (7177)
overview on methods of deriving fraction of absorbed photosynthetically active radiation (FPAR) using remote sensing	DONG Taifeng, MENG Jihua, WU Bingfang (7190)
Research progress on influencing of light attenuation and the associated environmental factors on the growth of submersed aquatic vegetation	WU Mingli, LI Xuyong (7202)
The framework of stoichiometry homeostasis in zooplankton elemental composition	SU Qiang (7213)
Scientific Note	
Abundance and biomass of planktonic ciliates in the sea area around Zhangzi Island, Northern Yellow Sea in July and August 2010	YU Ying, ZHANG Wuchang, ZHANG Guangtao, et al (7220)
Research of wildlife resources sustainable development based on entropy method in China	YANG Xitao, ZHOU Xuehong, ZHANG Wei (7230)
Influence of residue composition and addition frequencies on carbon mineralization and microbial biomass in the soils of agroforestry systems	WANG Yikun, FANG Shengzuo, TIAN Ye, et al (7239)
Seasonal changes in microbial diversity in different cells of a wetland system constructed for municipal sewage treatment	CHEN Yonghua, WU Xiaofu, ZHANG Zhenyi, et al (7247)

《生态学报》2013 年征订启事

《生态学报》是中国生态学学会主办的生态学专业性高级学术期刊,创刊于 1981 年。主要报道生态学研究原始创新性科研成果,特别欢迎能反映现代生态学发展方向的优秀综述性文章;研究简报;生态学新理论、新方法、新技术介绍;新书评介和学术、科研动态及开放实验室介绍等。

《生态学报》为半月刊,大 16 开本,300 页,国内定价 90 元/册,全年定价 2160 元。

国内邮发代号:82-7,国外邮发代号:M670

标准刊号:ISSN 1000-0933 CN 11-2031/Q

全国各地邮局均可订阅,也可直接与编辑部联系购买。欢迎广大科技工作者、科研单位、高等院校、图书馆等订阅。

通讯地址:100085 北京海淀区双清路 18 号 电 话:(010)62941099; 62843362

E-mail: shengtaixuebao@rcees.ac.cn 网 址: www.ecologica.cn

编辑部主任 孔红梅

执行编辑 刘天星 段 靖

生 态 学 报

(SHENTAI XUEBAO)

(半月刊 1981 年 3 月创刊)

第 32 卷 第 22 期 (2012 年 11 月)

ACTA ECOLOGICA SINICA

(Semimonthly, Started in 1981)

Vol. 32 No. 22 (November, 2012)

编 辑 《生态学报》编辑部
地址:北京海淀区双清路 18 号
邮政编码:100085
电话:(010)62941099
www.ecologica.cn
shengtaixuebao@rcees.ac.cn

主 编 冯宗炜
主 管 中国科学技术协会
主 办 中国生态学学会
中国科学院生态环境研究中心
地址:北京海淀区双清路 18 号
邮政编码:100085

出 版 科 学 出 版 社
地址:北京东黄城根北街 16 号
邮政编码:1000717

印 刷 北京北林印刷厂
行 销 科 学 出 版 社
地址:东黄城根北街 16 号
邮政编码:100717
电话:(010)64034563
E-mail:journal@cspg.net

订 购 全国各地邮局
国外发行 中国国际图书贸易总公司
地址:北京 399 信箱
邮政编码:100044

广 告 经 营 京海工商广字第 8013 号
许 可 证

Edited by Editorial board of
ACTA ECOLOGICA SINICA
Add: 18, Shuangqing Street, Haidian, Beijing 100085, China
Tel: (010) 62941099
www.ecologica.cn
Shengtaixuebao@rcees.ac.cn

Editor-in-chief FENG Zong-Wei
Supervised by China Association for Science and Technology
Sponsored by Ecological Society of China
Research Center for Eco-environmental Sciences, CAS
Add: 18, Shuangqing Street, Haidian, Beijing 100085, China

Published by Science Press
Add: 16 Donghuangchenggen North Street,
Beijing 100717, China

Printed by Beijing Bei Lin Printing House,
Beijing 100083, China

Distributed by Science Press
Add: 16 Donghuangchenggen North
Street, Beijing 100717, China
Tel: (010) 64034563
E-mail: journal@cspg.net

Domestic All Local Post Offices in China
Foreign China International Book Trading
Corporation
Add: P. O. Box 399 Beijing 100044, China

ISSN 1000-0933
CN 11-2031/Q
22>

9 771000093125